



RESUMEN DE LAS CONDICIONES METEOROLÓGICAS, OCEANOGRÁFICAS, BIOLÓGICO-PESQUERAS E HIDROLÓGICAS EN LA COSTA Y MAR PERUANO

Enero 2014

Componente atmosférica durante el mes de enero de 2014. SENAMHI

En el mes, el Anticiclón del Pacífico Sur (APS) presentó en la primera, tercera y sexta pentadaria, el incremento de intensidad en su núcleo, pero desplazado al suroeste de su posición normal. Esto favoreció para que se configurara y “profundizara” un “callejón” de bajas presiones, como consecuencia de su desplazamiento. En el resto del mes se observó oscilaciones dentro de la variabilidad normal (ver Figura 01).

Presión a nivel medio del mar por pentadas

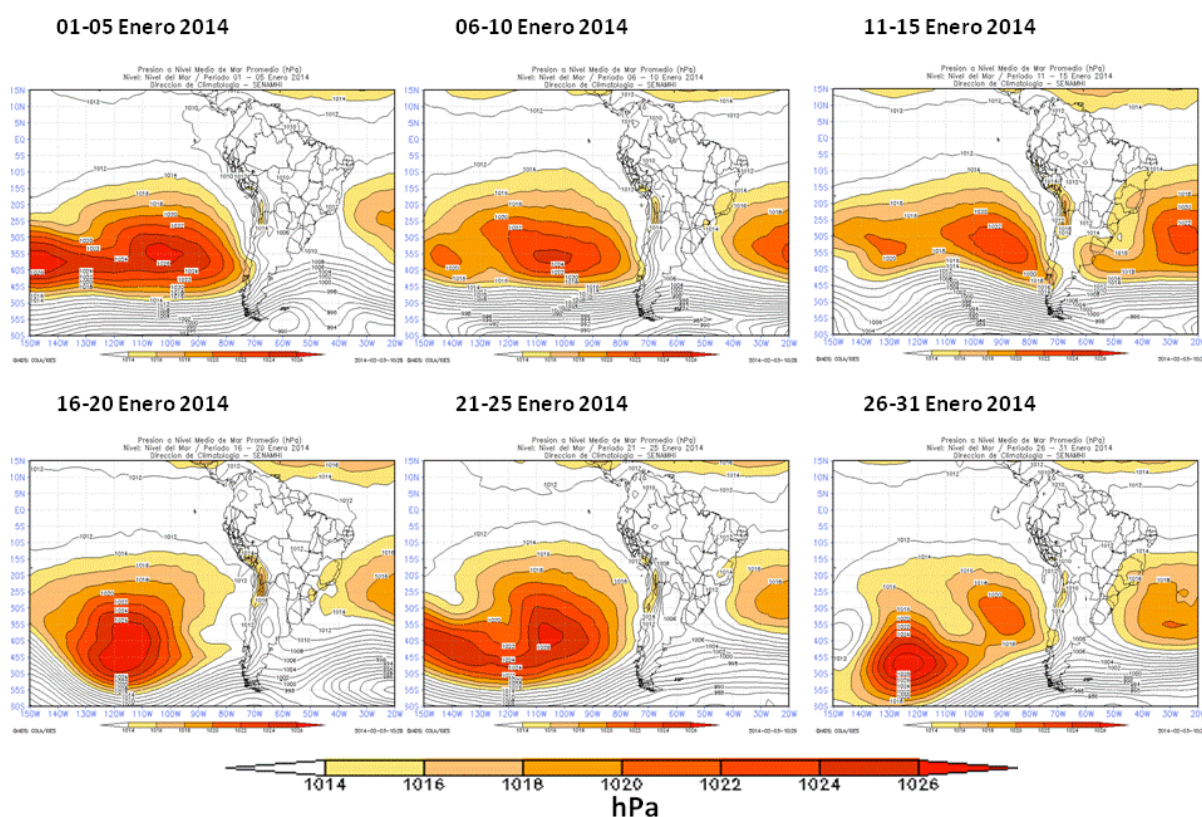


Figura 01. Fuente: SENAMHI con datos de CPC/NCEP-NOAA

En resumen, el núcleo del APS se ubicó y tuvo una intensidad, en promedio, normal (ver Figura 02).

Análisis de la circulación en 200hPa.

Los vientos de componente Oeste a lo largo del Pacífico ecuatorial y en especial la región oriental, se vieron más intensificados desde la cuarta pentadaria del mes, con esto, el efecto de subsidencia que provocó, mantuvo inhibida la convección en el Pacífico ecuatorial oriental y recurrentemente también en el norte del Perú. Por otro lado, en el continente, la configuración de la Alta de Bolivia (identificada en las figuras como una circulación antihoraria de los flujos de viento en 200 hPa), presentó desplazamientos hacia el Sur (favoreciendo la ocurrencia de precipitaciones en la región sur y central del Perú) y Oeste (limitando la formación de nubes y con ello la ocurrencia de heladas meteorológicas en regiones andinas del occidente en el sur del Perú), respectivamente, esta última principalmente a finales del mes (ver Figura 3).

Anomalías de la presión a nivel medio del mar

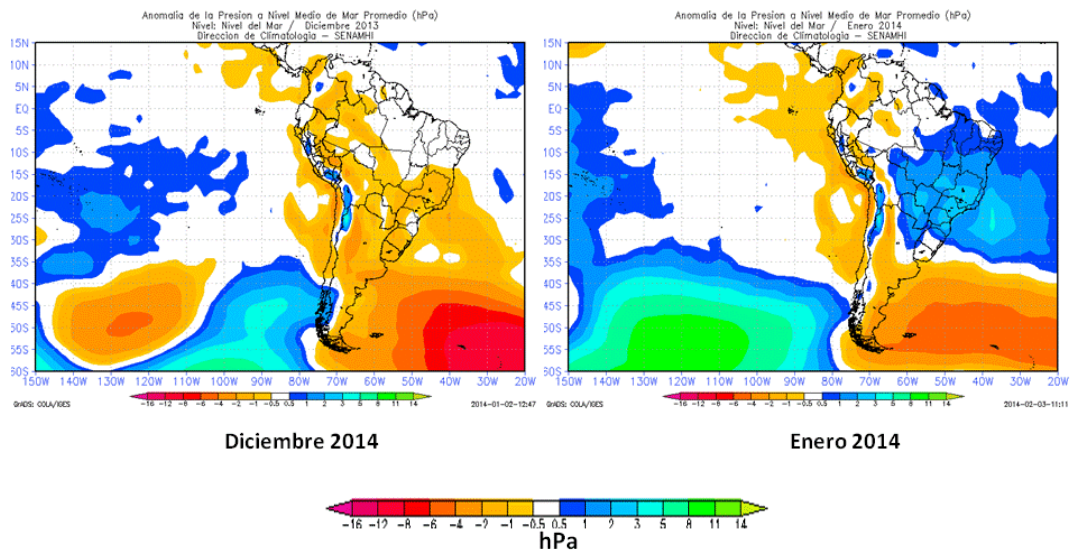


Figura 02. Fuente: SENAMHI con datos de CPC/NCEP-NOAA

Circulación e intensidad del Viento Promedio por pentadas en el Nivel de 200 hPa

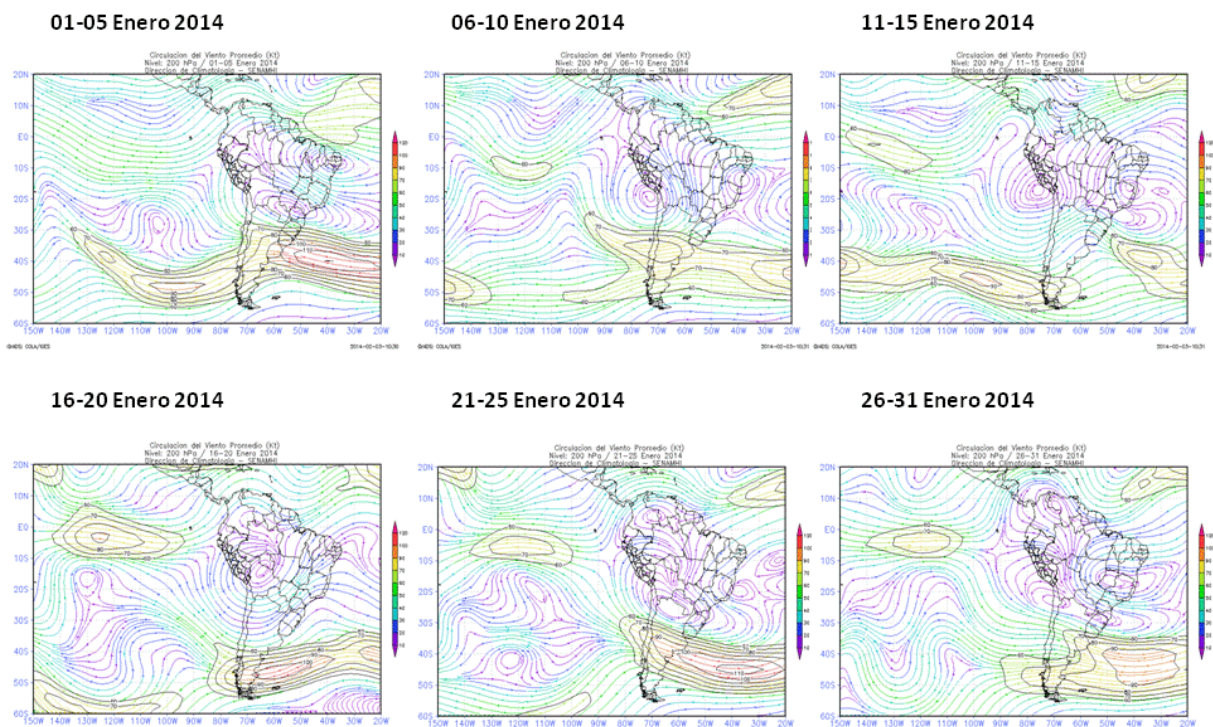


Figura 03. Fuente: SENAMHI con datos de CPC/NCEP-NOAA

En promedio, la circulación atmosférica sobre el Pacífico ecuatorial en el nivel de los 200 hPa se mantuvo intensa y las anomalías se proyectaron más hacia el Este a diferencia del mes anterior (ver Figura 04).

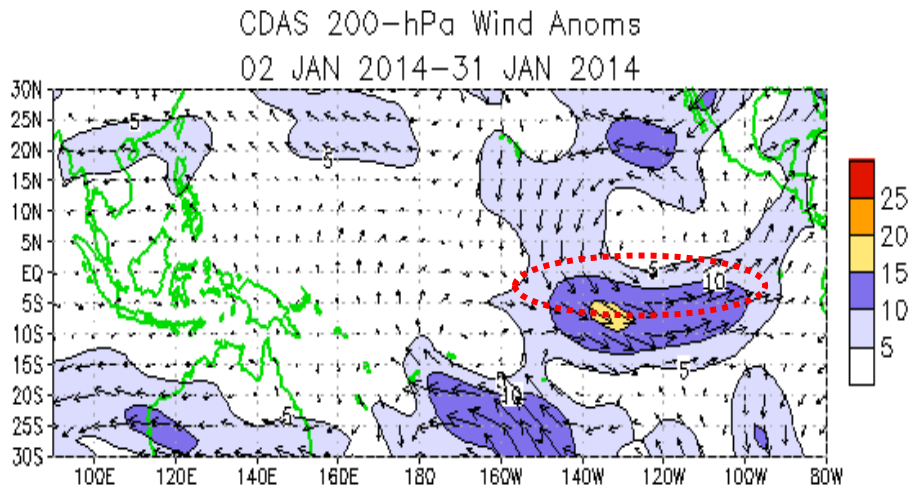


Figura 04. Fuente: NCEP/CDAS

Análisis de la circulación en 850 hPa.

Durante el mes, en el Pacífico ecuatorial occidental se mantuvieron las anomalías de viento del Oeste, lo mismo que en una estrecha franja cercana al Golfo de Guayaquil, posteriormente, en el resto de la franja ecuatorial no se observó anomalías importantes. Por otro lado, sobre el Pacífico sur oriental no se observaron anomalías; sin embargo en superficie, se observó el incremento del dominio e intensidad de las anomalías del sureste a lo largo de toda la costa peruana, coincidente con las variaciones térmicas de la Temperatura Superficial del Mar (TSM).

Circulación e intensidad del Viento Promedio por pentadas en el Nivel de 850 hPa

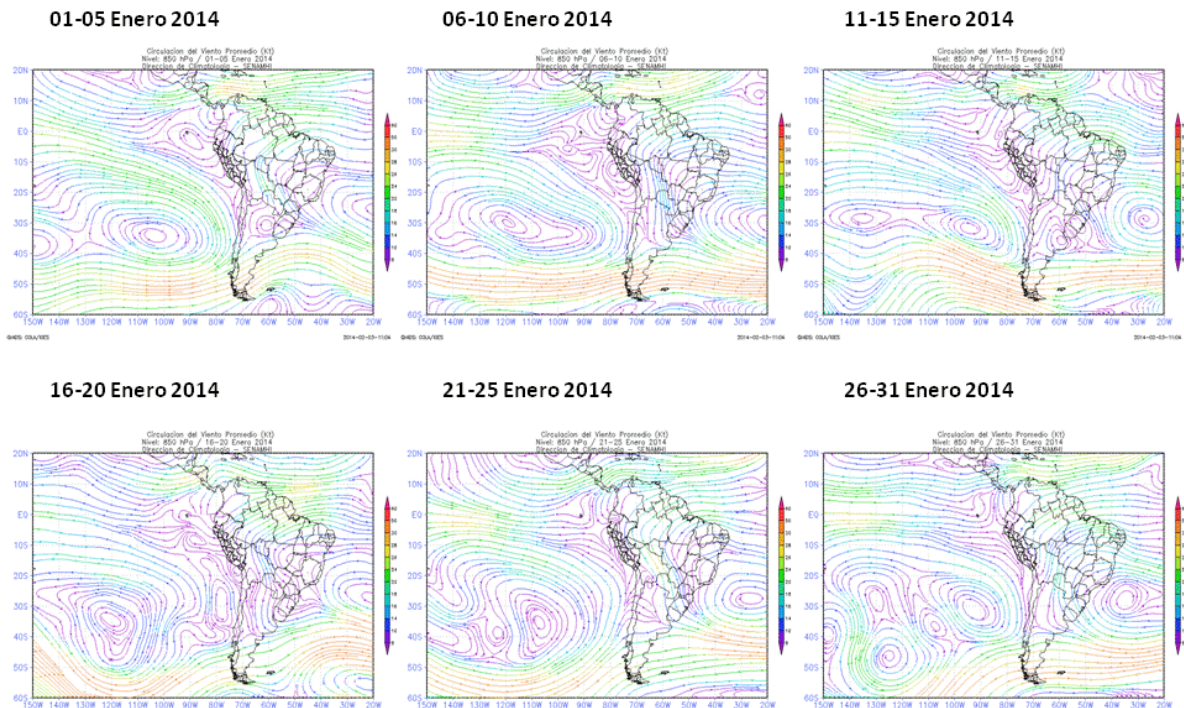


Figura 05. Fuente: SENAMHI con datos de CPC/NCEP-NOAA

En resumen, sobre el Pacífico ecuatorial occidental continuaron observándose anomalías del Oeste pero más intensificadas a comparación del mes de diciembre, en tanto que, en el Pacífico central, no se observaron importantes anomalías.

En la Región Niño 1+2, se observó una mayor área de anomalías del noroeste (ver Figura 06).

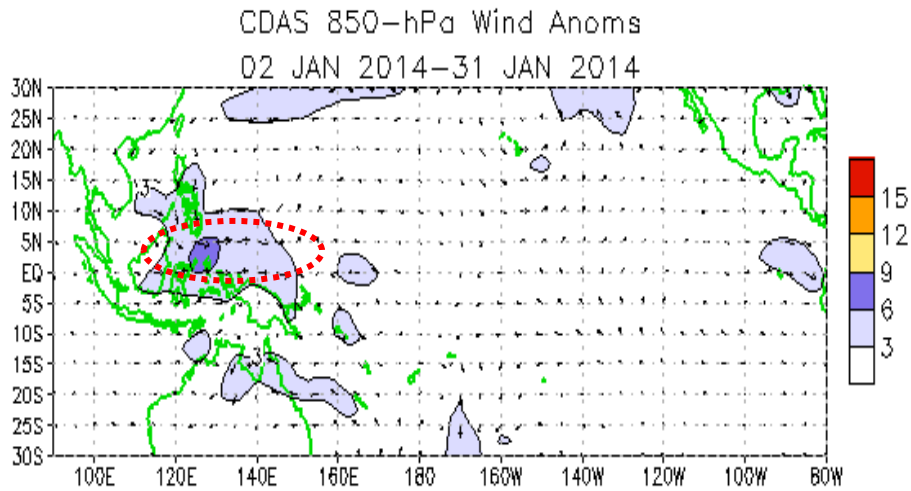


Figura 06. Fuente: NCEP/CDAS

Monitoreo de las Temperaturas extremas del aire.

Las temperaturas extremas (máxima y mínima) del aire, mostraron temperaturas ligeramente superiores a su normal (ver Figura 07).

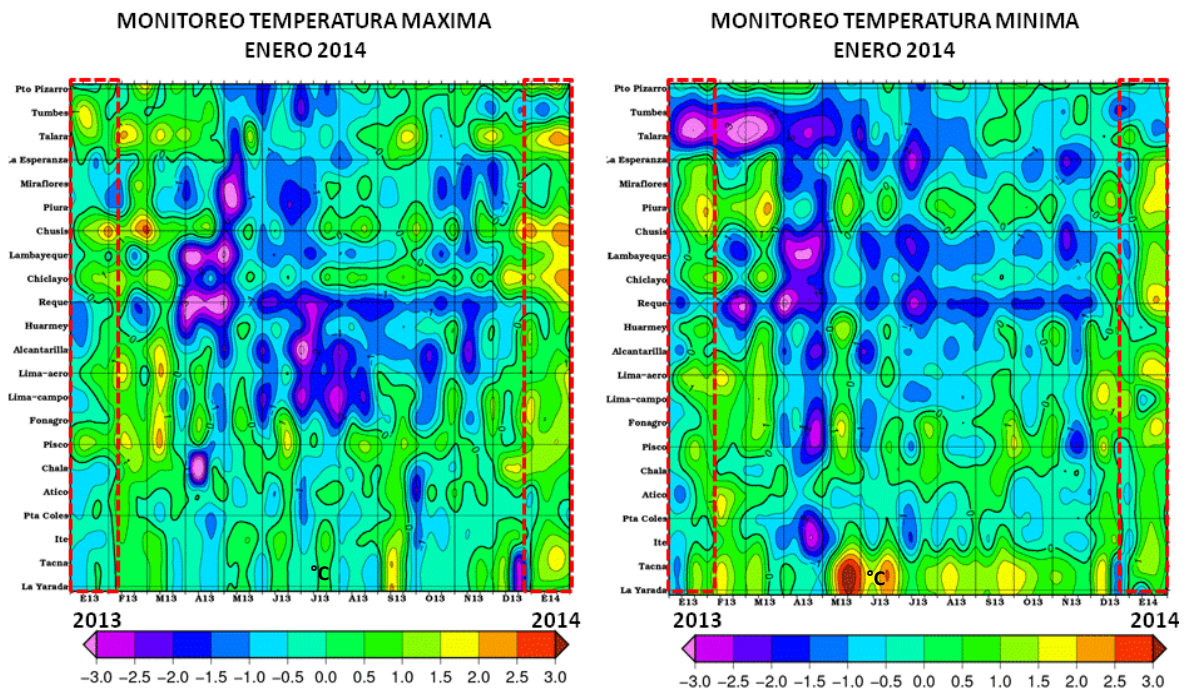


Figura 07. Fuente: SENAMHI

Componente oceanográfica durante el mes de enero de 2014. DHN

En el Pacífico ecuatorial occidental, la TSM presentó anomalías positivas entre 0,5° y 1°C, condiciones similares al mes anterior. En la región oriental (cerca a las costas de Sudamérica), la TSM de condiciones normales en el mes de diciembre de 2013, pasó a anomalías positivas en enero de 2014, con valores próximos a 1° C. Por otro lado, especialmente, el nivel medio del mar (NMM) en el Pacífico ecuatorial presentó niveles con valores normales, sólo en el sector occidental prevalecieron niveles con anomalías positivas de 5 cm (ver Figura 08).

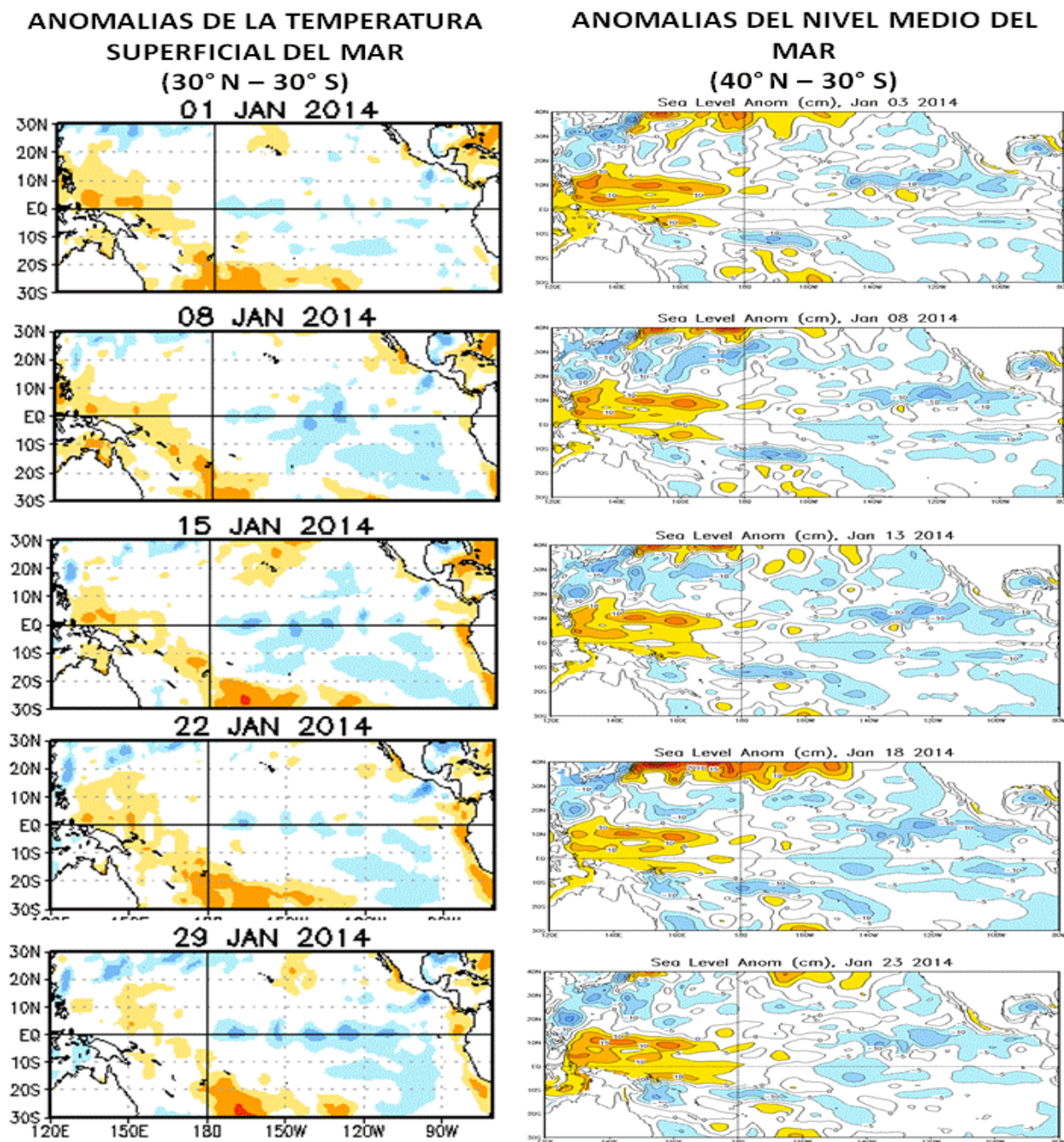


Figura 08. Fuente: CPC/NCEP-NOAA

A nivel sub superficial, en el Pacífico occidental, se evidenció la presencia de aguas cálidas, mientras que en el sector oriental se presentaron aguas aun ligeramente frías, con anomalías negativas de 2° C (ver Figura 9).

En gran parte del litoral peruano, la TSM aumentó rápidamente a valores por encima de su normal (ver Figura 10a), en tanto que el NMM se mantuvo con anomalías positivas en el litoral norte y centro (ver Figura 10b).

En resumen, las condiciones de TSM y NMM se encontraron alrededor de su normal a lo largo de todo el litoral peruano.

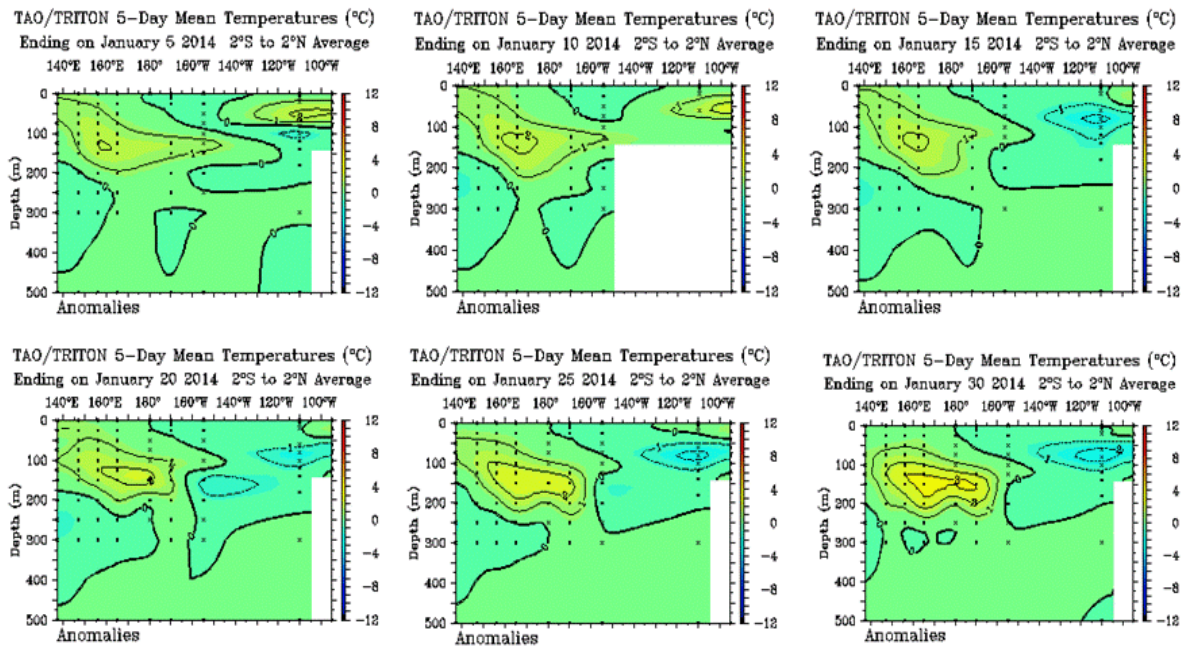


Figura 09. Fuente: TAO/TRITON

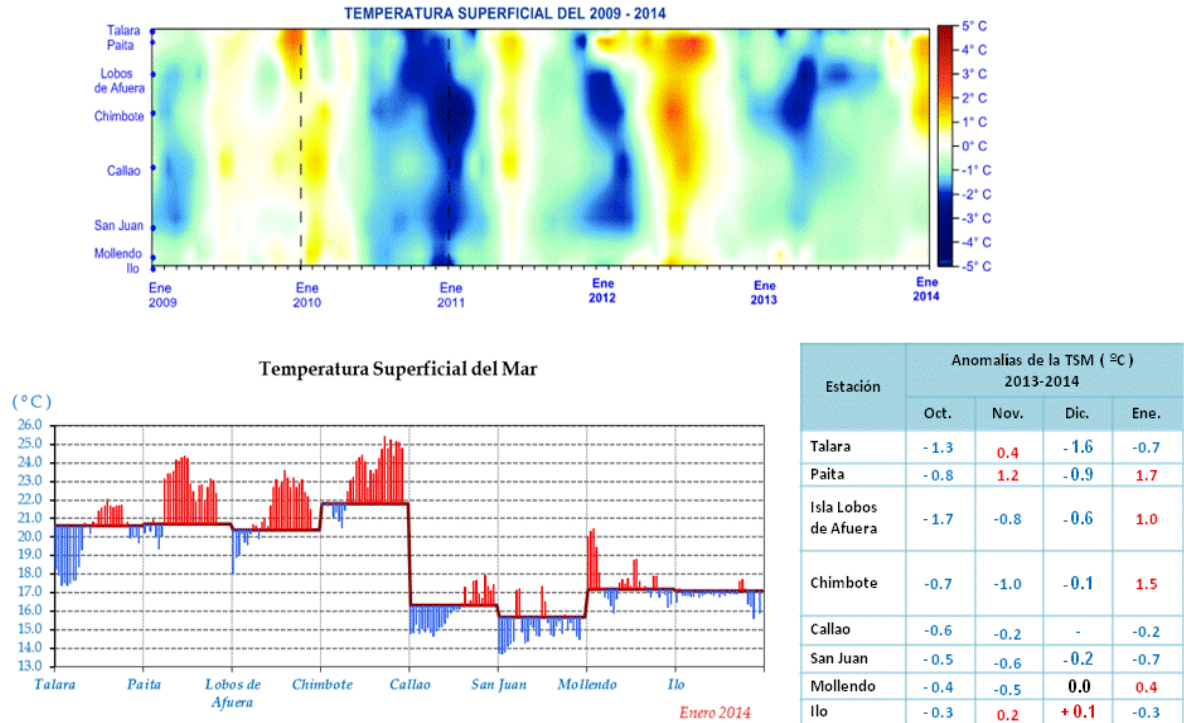


Figura 10a. Temperatura de agua de mar. Fuente: DHN/Estaciones mareográficas

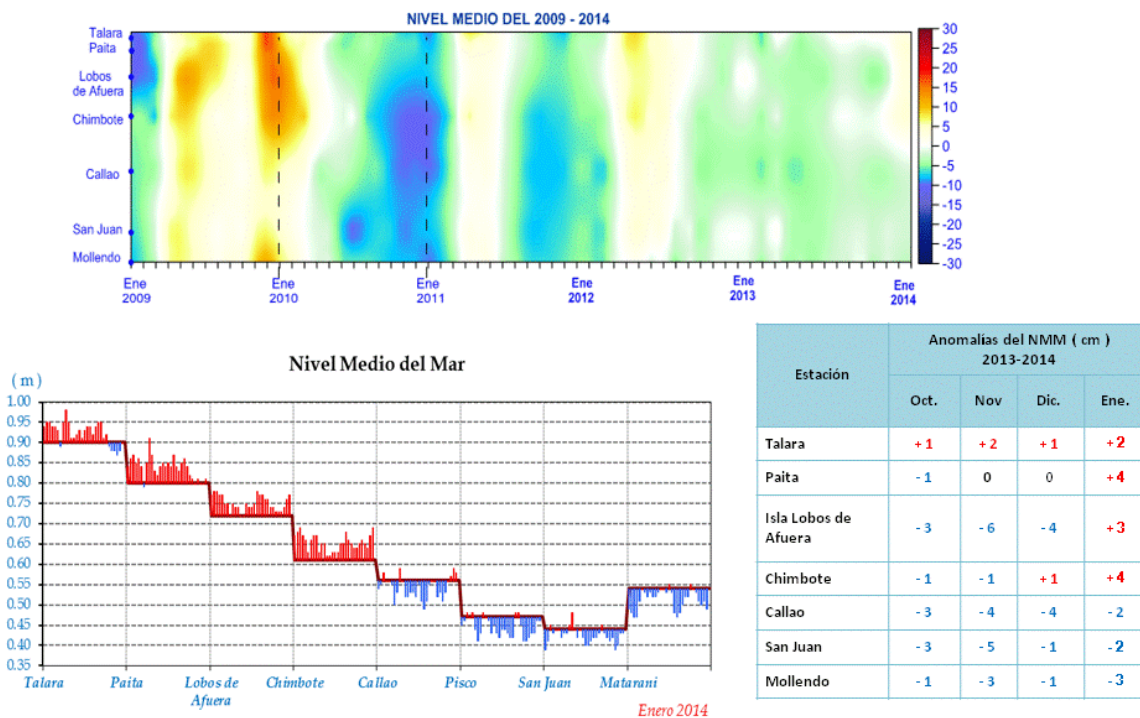


Figura 10b. Nivel Medio del Mar. Fuente: DHN/Estaciones mareográficas

Componente biológica-pesquera durante el mes de enero de 2014. IMARPE

El desembarque de los principales recursos pelágicos fue de 202 mil toneladas, correspondiendo a la anchoveta el 95,0%, seguido del jurel (3,2%) y la caballa (1,7 %). Entre los recursos demersales, la merluza con 4 796 toneladas representó el 97,5% (Tabla N° 1).

Tabla N° 1 Desembarques de los principales recursos pelágicos (t) (01– 30 enero 2014).
Fuente: IMARPE

Especie \ Flota \ Región	Año Calendario (01 al 30 enero 2014)						
	Norte	Centro	N+C	Sur	Total	%	
Anchoveta	FI Acero	159 930	19 022	178 952	0	178 952	88.78
	FI Madera	10 866	1 628	12 494	0	12 494	6.20
Sub-total	170 796	20 650	191 446	0	191 446	94.97	
%	89.21	11	100	0.00	100		
Sardina	0	0	0	0	0	0.00	
Jurel	1 431	5 020	6 451	0	6 451	3.20	
Caballa	1 036	2 430	3 466	0	3 466	1.72	
Samasa	0	0	0	0	0	0.00	
*Otros	142	71	213	0	213	0.11	
Total	173 405	28 171	201 576	0	201 576	100.00	
%	86.0	14.0	100.0	0.0	100.0		

La anchoveta presentó un núcleo principal desde Chérrepe hasta Casma, entre las 20 y 40 millas náuticas de la costa y un pequeño núcleo entre Supe y Callao (ver Figura 11).

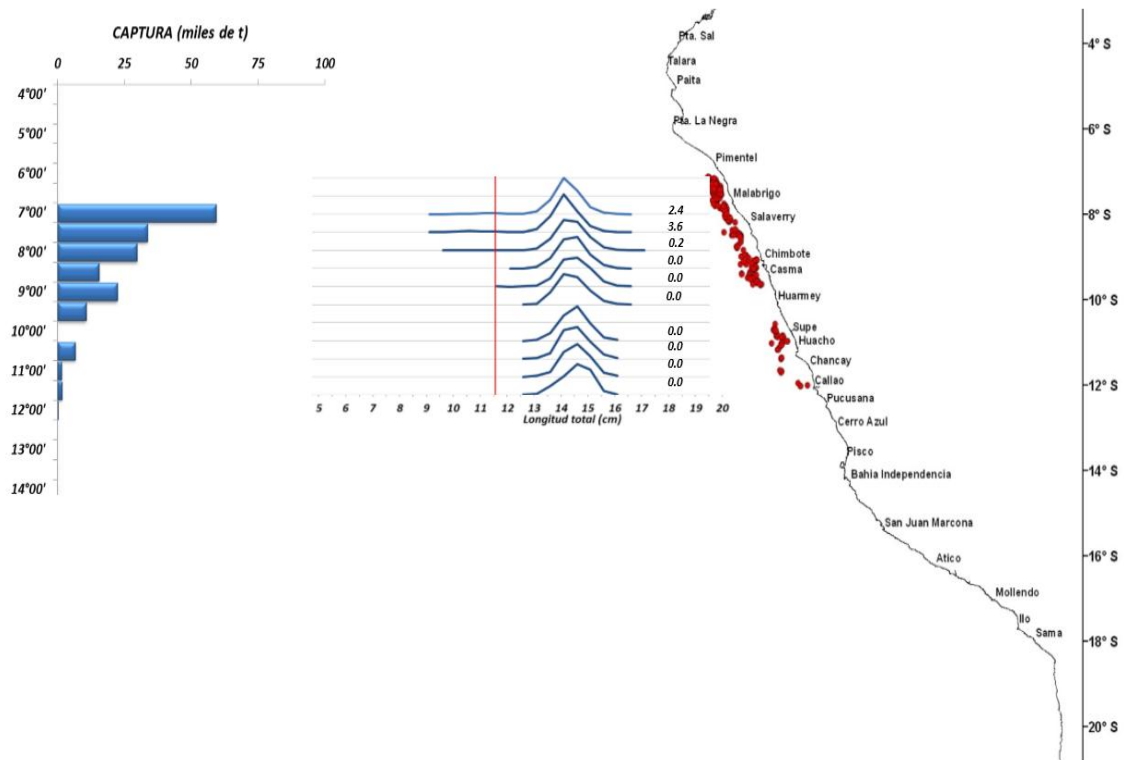


Figura 11. Distribución de anchoveta, enero 2014. Fuente: IMARPE

La estructura de tallas de anchoveta (Figura 12) y caballa (Figura 13) fue principalmente adulta, con moda de 14,5 cm de LT y 31 cm de LH, respectivamente, mientras que el jurel (Figura 13) presentó una estructura bimodal con modas en 34 y 29 cm de LT y 31,6% de juveniles. La merluza presentó un rango de 20 a 70 cm de LT con 60,9% de juveniles.

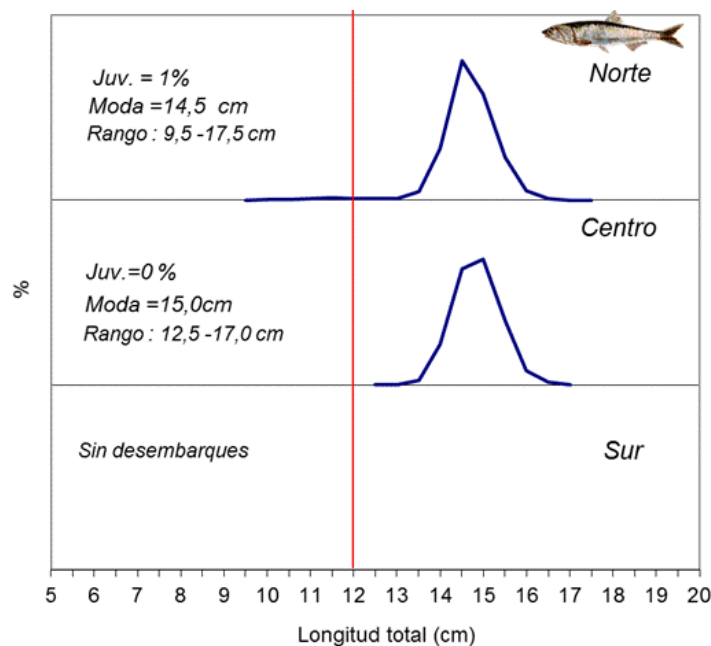


Figura 12. Estructura de tallas de anchoveta, enero 2014. Fuente: IMARPE

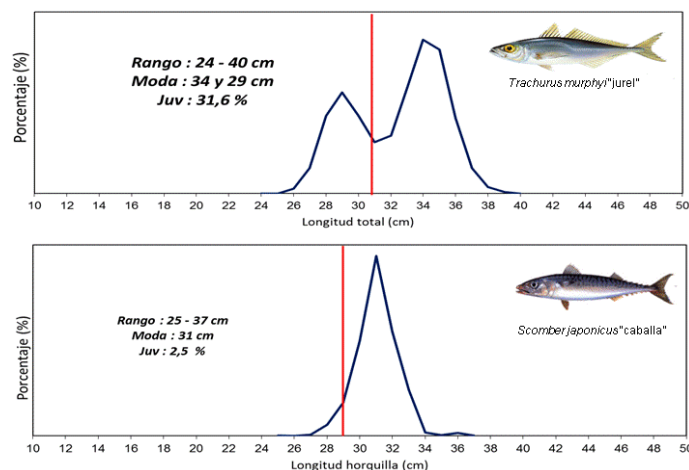


Figura 13. Estructura de tallas de jurel y caballa, enero 2014. Fuente: IMARPE

Los indicadores reproductivos de la anchoveta y merluza indicaron un comportamiento acorde al patrón. La anchoveta de la región norte – centro se encontró en una etapa de baja actividad reproductiva, mientras que la merluza se mantuvo desovando aunque con valores que no superaron el indicador reproductivo (ver Figura 14).

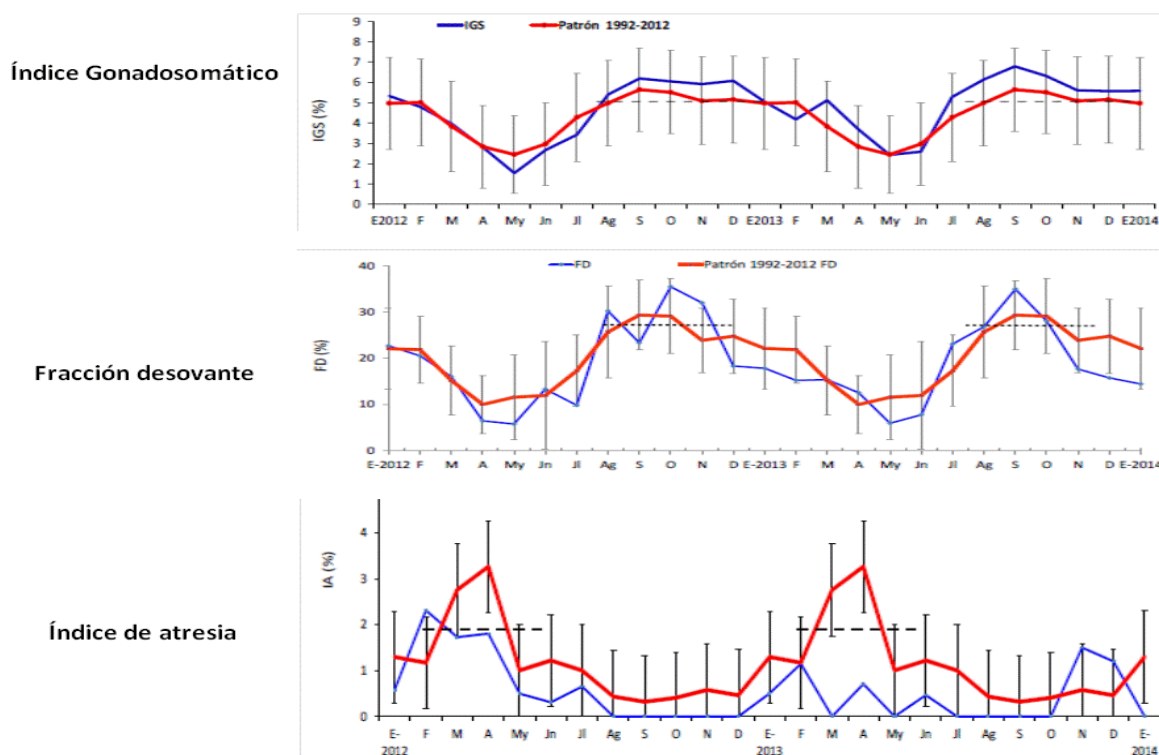


Figura 14. . Índices reproductivos de anchoveta. Periodo: Enero 2012- Enero 2014. Fuente: Laboratorio de Biología Reproductiva - IMARPE

Componente hidrológica durante el mes de enero de 2014. ANA

Los ríos de la costa, en la zona norte, presentaron valores de caudales por debajo de sus promedios históricos durante el mes de enero de 2014, debido a la poca frecuencia e intensidad de lluvias en las partes altas de las cuencas. Los principales reservorios en la costa norte y sur registraron 21% y 48% de la capacidad de almacenamiento, respectivamente. En la costa norte, los niveles para la época están debajo de los normales, preparándose planes de contingencia en el manejo de los reservorios (ver Figura 15).

Zona	Nombre del Reservorio	Fecha de Reporte	Departamento de Influencia	Capacidad Hidráulica (hm ³)		Capacidad Hidráulica Disponible (%)		Capacidad Hidráulica Disponible Regionalizada (%)
				Total	Disponible	Disponible (%)	Disponible (%)	
Costa - Norte	POECHOS	31-ene	Piura	490.0	123.6	25	25	21
	SAN LORENZO	31-ene	Piura	193.0	30.1	16	16	
	TINAJONES	31-ene	Lambayeque	330.0	61.6	19	19	
	GALLITO CIEGO	31-ene	La Libertad	372.0	94.3	25	25	
Costa - Sur	CHOCLOCOCHA	31-dic	Ica	150.0	21.7	14	14	48
	CONDOROMA	31-ene	Arequipa	259.0	128.3	50	50	
	EL PAÑE	31-ene	Arequipa	99.6	60.8	61	61	
	LOS ESPAÑOLES	31-ene	Arequipa	9.9	6.9	70	70	
	PILLONES	31-ene	Arequipa	78.5	29.2	37	37	
	EL FRAYLE	31-ene	Arequipa	127.2	81.4	64	64	
	AGUADA BLANCA	31-ene	Arequipa	30.4	11.6	38	38	
Situación Nacional		-		2,139.6	649.4	30	-	

Figura 15. Volumen de represas. Fuente: Autoridad Nacional del Agua – ANA

Pronósticos Climáticos y Monitoreo del Índice Costero El Niño (ICEN). IGP

El ICEN para los meses de setiembre a noviembre de 2013 (así como los valores temporales ICENtmp para diciembre de 2013 y enero de 2014), correspondieron a condiciones neutras (ver Figura 16).

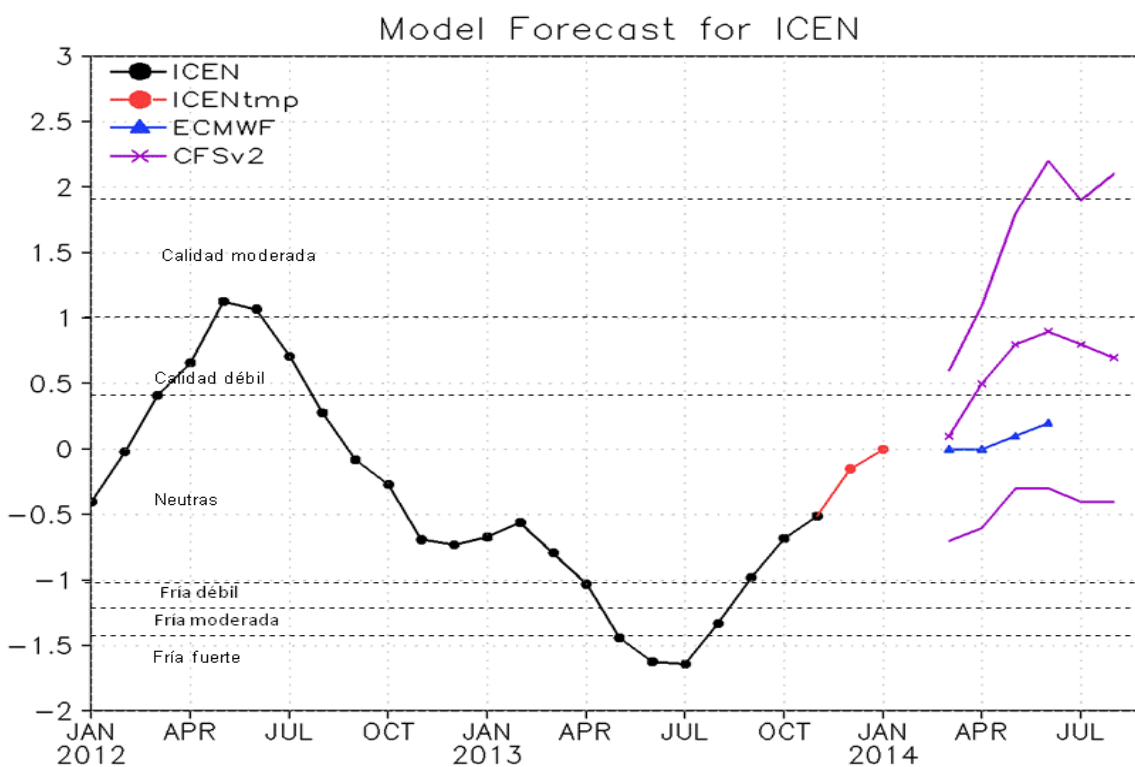


Figura 16. Fuente: IGP

El pronóstico de la anomalía de TSM en la Región Niño 1+2 (ICEN) por los modelos numéricos de las agencias internacionales continúan indicando valores dentro del rango neutral para los siguientes tres meses (febrero-abril). De la misma forma, en la Región Niño 3.4 (ver Figura 17).

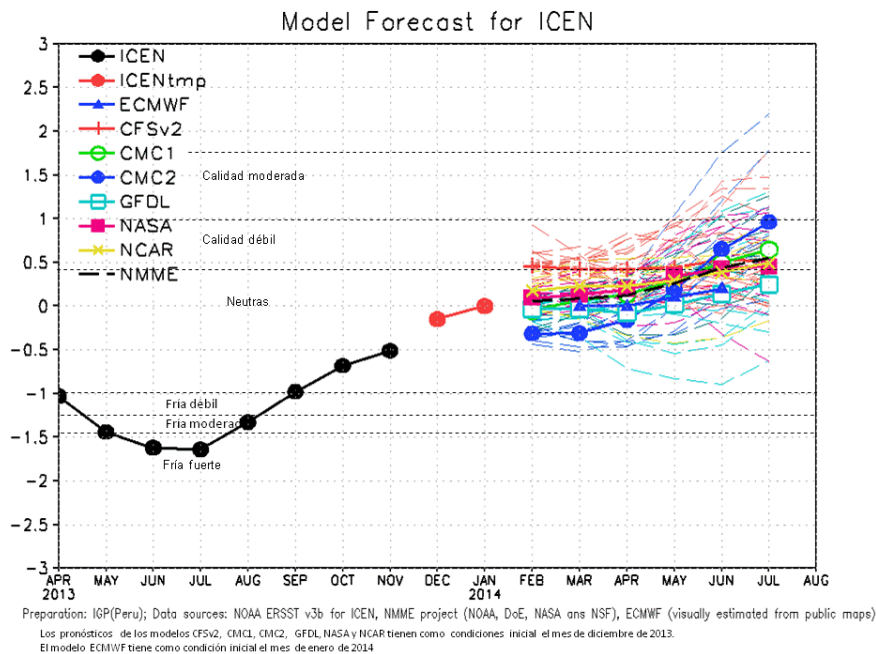


Figura 17. Preparado por IGP. Fuente: NOAA ERSST v3b, NMME Project (DoE, NOAA, NASA, NSF), ECMWF

Hacia mediados del año 2014, los modelos pronostican condiciones entre neutra y cálida débil para el ICEN. Pero la barrera de predictabilidad asociada a la estacionalidad resulta en baja confiabilidad a los pronósticos iniciados antes de febrero. Similarmente, para la Región Niño 3.4, los pronósticos del IRI son entre neutros y cálidos hacia mediados del 2014 pero estos serán más confiables después de la primavera boreal (mayo) (ver Figura 18).

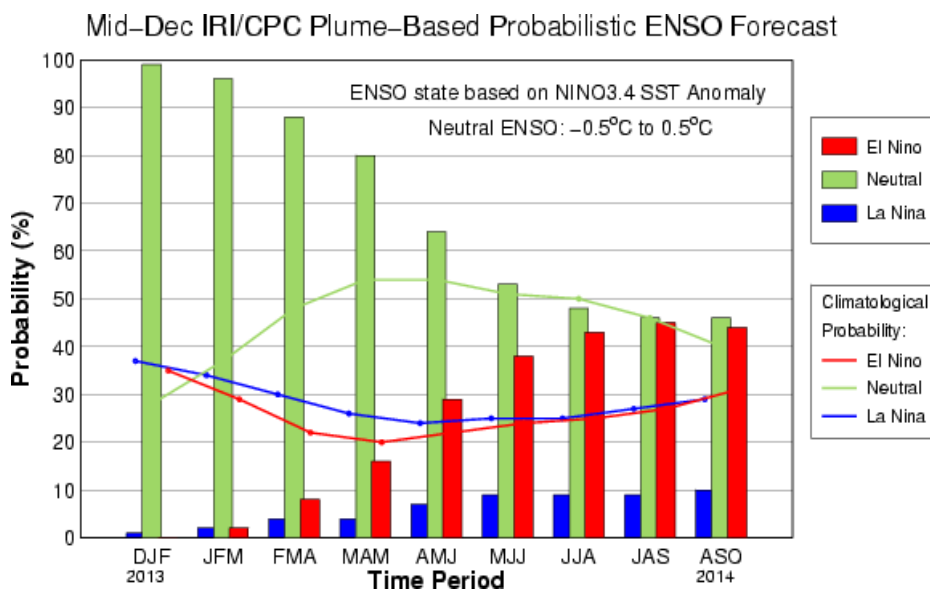


Figura 18. Fuente: IRI/CPC

Perspectivas.

1. Los modelos numéricos de las agencias internacionales, continúan indicando valores dentro del rango neutral en las regiones Niño 1+2 y Niño 3.4 para el verano del año 2014.
2. Se prevé que en el litoral peruano, las temperaturas del aire y del agua de mar presenten valores de normal a superior, mientras que el nivel medio del mar continuaría con valores normales.
3. Para las condiciones de temperatura superficial del mar mencionadas, se esperarían precipitaciones normales, sin embargo, considerando las anomalías de circulación actuales, se prevé precipitaciones por debajo de lo normal en la región norte, situación que continuaría afectando el bajo nivel de almacenamiento de sus reservorios.
4. Se prevé el eventual arribo de una onda de Kelvin cálida en el Pacífico oriental para el mes de marzo que podría modificar las condiciones océano-atmosféricas en el litoral norte y centro, principalmente.

El Comité ENFEN continuará monitoreando e informando la evolución de las condiciones actuales.

Callao, 06 de febrero de 2014